

防衛大学校 学生員 ○政枝憲太郎 防衛大学校 正員 香月 智
防衛大学校 フェロー 石川 信隆 住友金属工業 正員 竹内 大輔

1. 緒 言

土石流災害防止のための砂防ダムには、コンクリート製の他に鋼製のスリット型¹⁾や鋼製セル内に現地で土砂を中詰めして作られるセル型の砂防ダム²⁾がある。本研究は、鋼製骨組砂防ダムの前面に中詰材を有する鋼製セル緩衝材を設置する鋼製砂防ダムを提案し、この1/5スケールのミニチュアモデルの衝突実験によってその緩衝効果を検討したものである。

2. 実験の概要

実験の鋼製セル緩衝材は、写真-1および図-1に示す高さ90cm、直径40cm、肉厚0.16cm ($D/t=375$)、材質SS400鋼管の超薄肉鋼板セルに中詰材を高さ80cmまで詰めたものである。砂防ダム本体は、 $\phi=60.5$, $t=2.3$ 、材質STK400の鋼管を溶接接合したトラス構造のもので底面の鋼板と溶接固定している。中詰材は、表-1に示すけい砂5号(粒径1mm)、碎石5号(同5mm)、川砂利4号(同25mm)の3種類を用い、一部上方からの拘束圧の影響を見るため鉛材を載せたケースも椰討した。実験は、セルの高さ60cmの中心線上に150kgの重錐をガイドレールに沿って自由運動により衝突させた。載荷の要領については、同一供試体に何度も衝突させる漸増載荷の場合と一度だけの衝突の单一載荷について行い、前者は衝突速度1m/sから始めて1m/sずつ増やし7m/sまで行った。後者は漸増載荷において弾性の応答限界速度とされた6m/sを行った。また、比較のために中詰材を詰めないで衝突させた場合と、本体部垂直材の中央に直接衝突させた場合についても漸増載荷を行った。以上の条件を組み合わせて表-2に示す実験ケースについて椰討した。

3. 実験結果および考察

図-2に、一例としてけい砂の漸増載荷実験(Im-I-1)における $V=1\text{m/s}$ と 7m/s の荷重(重錐衝撃力)および重錐変位の時刻歴応答を示す。衝突速度1m/sでは、50msecで最大荷重の3kNとなり60msec位まで持続したあと100msecで重錐がセルと離れるため荷重がなくなる。また、この間の変位は50msecで最大変位30mmとなり160msecで元に戻る。一方、衝突速度 $V=7\text{m/s}$ では、最大荷重は100kNと1m/sの時より著しく大きくなり、作用時間は30msecと $V=1\text{m/s}$ の時より短くなる。

すなわち、衝突速度が増すと衝突荷重は大きくなるが、接触時間は小さくなる傾向がある。

キーワード：中詰材、砂防ダム、緩衝効果、衝撃荷重、鋼製セル緩衝材

連絡先：〒239-8686 神奈川県横須賀市走水1-10-20 防衛大学校 土木工学科 TEL 0468-41-3811(3518), FAX 0468-44-5913

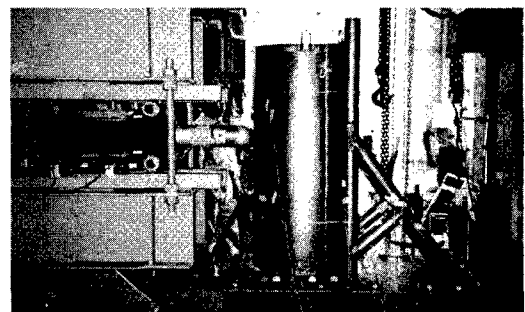


写真-1 実験装置

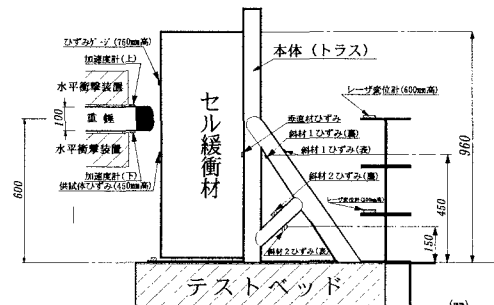


図-1 供試体側面図

表-1 中詰材の緒元

種類	けい砂5号	碎石5号	川砂利4号	鉛材
範囲(mm)	0.5~1.0	3.0~10	15~30	7mm
呼称粒径	1mm	5mm	25mm	7mm
単位体積重量(gf/cm³)	1.51	1.49	1.48	7.58

表-2 実験ケース

ケース名	荷重	重錐重量	セル緩衝材	中詰材	粒径(mm)	載荷要領	衝突速度(m/s)	回数
Im-I-1				けい砂	1			2
Im-I-5				碎石	5		1,2,3,4,5,6,7	2
Im-I-25				川砂利	2.5			2
Im-I-10				空	—		1.23	1
Im-I-1-60		150kgf	有	けい砂 + 上載荷(60kg)	1	漸増載荷		1
Im-I-1-120				けい砂 + 上載荷(120kg)	1		1,2,3,4,5,6,7	1
Im-I-Fr			無	—	—		1.2	1
Im-S-1			有	けい砂	1	単一載荷	6	2

図-3にV=1m/sおよび7m/sにおける垂直材と斜材の時刻歴応答を示す。V=1m/sでは垂直材は最大80 μ のひずみが生じているのに対して斜材は50 μ と斜材ひずみの方が小さい。一方、V=7m/sでは、垂直材は最大600 μ で斜材は950 μ と斜材の方が大きくなっている。

図-4に最大重錐衝撃力と衝突速度の関係を示す。これより、中詰材の粒径は衝撃力にあまり大きな影響を及ぼさないことがわかる。一方、直接本体部に重錐を衝突させた場合(Im-I-Fr)には、V=2m/sで140kNの衝突荷重となり緩衝材を設置した場合に比べて約14倍の衝撃力が発生する。また鋼板セルに中詰材を詰めない場合は、V=3m/sで1/5程度の衝撃力となり低減しているがセルの局部変形が40%以上(16cm以上)となり、セル自体が破壊限界に達する。

図-5に伝達衝撃力～衝突速度の関係を示す。ここで伝達衝撃力 P_T とは、次式によって求めるものである。

$$P_T = N \cdot \sin \theta$$

$$N = A \cdot E \cdot \bar{\epsilon}$$

P_T :伝達衝撃力(kN), N:斜材の軸力, θ :垂直材と斜材のなす角, A:斜材断面積, E:ヤング係数, $\bar{\epsilon}$:斜材に生じた軸ひずみ。

これを図-4に示した重錐衝撃力と比較すると概ね45%程度荷重が低下しているのがわかる。すなわち、緩衝セルを設置することにより約半分に衝撃力が低下する効果が見られる。

4. 結 言

本研究の成果をまとめると以下の通りとなる。(1)中詰材の粒径を変えた実験ではどの粒径でもあまり差異は見られなかった。(2)緩衝材を通して本体のトラス構造への伝達衝撃力は重錐衝撃力の約55%に低減される。

参考文献

- 星川辰雄ら：鋼製透過型砂防構造物の弾塑性衝撃応答解析と耐衝撃設計法、土木学会論文集、No.549/I-37, pp.159～173, 1996年10月。
- 伊藤一雄ら：締め固め効果を考慮した礫中詰材のせん断抵抗力推定法と砂防ダム設計への応用、土木学会論文集、No.570/I-40, pp.187～201, 1997年7月。

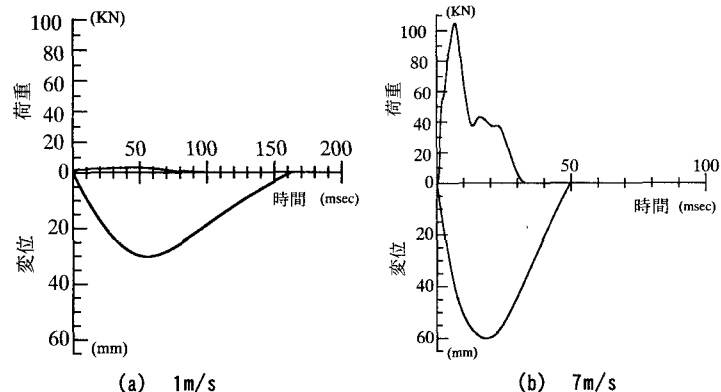


図-2 けい砂詰めセルに対する繰り返し載荷の衝撃荷重
および変位の時刻歴

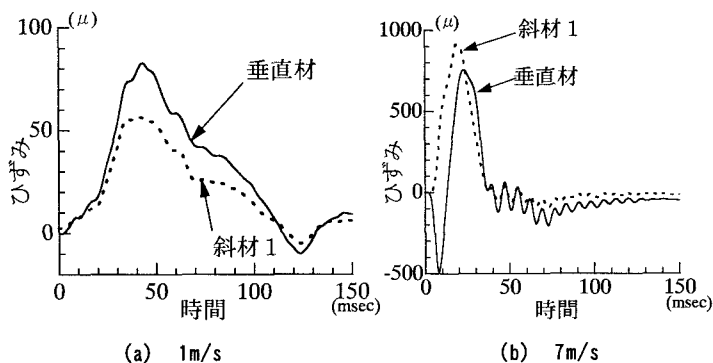


図-3 トラス部材のひずみ応答

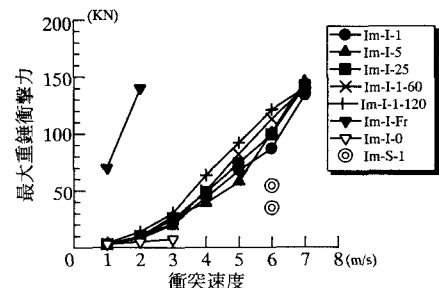


図-4 重錐衝撃力～衝突速度関係

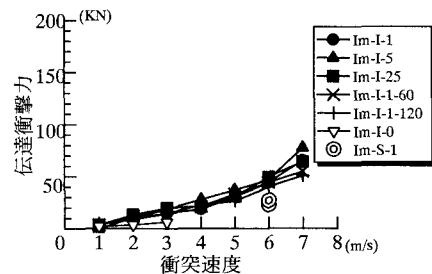


図-5 伝達衝撃力～衝突速度関係